

УДК 669.295.539.4.015

КОНСТРУКЦИОННАЯ ПРОЧНОСТЬ СУБМИКРОКРИСТАЛЛИЧЕСКИХ МАТЕРИАЛОВ

Г. А. САЛИЩЕВ*, Р. Г. ЗАРИПОВА, Р. М. ГАЛЕЕВ **

*Институт проблем сверхпластичности металлов РАН

Тел: (3472) 23 77 32 Факс: (3472) 25 37 59 E-mail: gensal@ipsm.rb.ru

**Факультет авиационно-технологических систем УГАТУ

Тел: (3472) 25 37 12 E-mail: ridaz@mail.ru

Представлены результаты исследований по влиянию субмикрокристаллических размеров зерен на физико-механические свойства сплавов на основе железа и титана. Показано, что обработка на субмикронное зерно эффективна и существенно повышает уровень механических свойств при комнатной и повышенных температурах, приводит к достижению уникального комплекса прочности и пластичности

Деформация; прочность; пластичность; субмикрокристаллическая структура

Конструкционная прочность материалов играет важную роль в обеспечении надежной и долговечной работы деталей машин и агрегатов. Создание новых образцов техники в авиационной, машиностроительной, нефтегазодобывающей и других отраслях промышленности предъявляет более жесткие и повышенные требования к работоспособности конструкций. Это обуславливает необходимость применения материалов с более высоким комплексом физико-механических свойств. Для металлических материалов данная проблема решается либо созданием путем легирования новых композиций сплавов, либо разработкой новых высокоэффективных термомеханических способов направленного воздействия на структуру серийных промышленных сплавов.

Возможности легирования к настоящему времени во многом уже исчерпаны. Кроме того, разработка совершенно новых сплавов требует больших материальных затрат по созданию новых композиций, их сертификации и внедрению. Между тем в последние десятилетия интенсивно развивается новое направление в материаловедении и обработке материалов, заключающееся в формировании в металлах и сплавах ультрадисперсных структурных состояний [1–3]. Это позволяет резко повысить удельную прочность в области эксплуатационных температур, при этом в

области температур обработки давлением существенно повышается технологическая пластичность. На базе этого направления можно создать принципиально новый комплекс физико-химических и механических свойств в обычных промышленных материалах.

Повышение прочностных характеристик металлов может быть достигнуто за счет уменьшения размеров зерен (зерногранничное упрочнение), а также за счет формирования внутризеренной дисперсной субструктурой (субструктурное упрочнение) [4, 5]. При этом возможно создание таких структурных состояний, когда оба эти фактора могут дать суммарный вклад в достижение высокой прочности. В случае сплавов необходимо также учитывать роль твердорастворного или дисперсионного упрочнения. Несмотря на разработку темы зерногранничного упрочнения в последние годы и комплекс ранее проведенных в 70–80-е годы работ по субструктурному упрочнению [5], исследования, рассматривающие одновременное проявление этих факторов, практически отсутствуют. Особенно это касается субмикрокристаллических (СМК) металлов и сплавов, в которых при достижении размеров зерен до 0,1 мкм и менее не наблюдается формирования субструктуры в обычном ее понимании. Заметим, что постановка исследований в этом направлении имеет большое значение

для понимания особенностей строения СМК материалов и природы их упрочнения. Оценка физико-механических свойств материалов с различным типом дисперсных структур и их комбинаций может послужить в дальнейшем основой для создания реальных опытно-промышленных технологий получения полуфабрикатов с заданным уровнем свойств, позволит прогнозировать уровень конструкционной прочности и область применения СМК материалов.

В данной статье представлены результаты сравнительной оценки физико-механических свойств технического титана BT1-00, титанового сплава BT6 и нержавеющих аустенитных и аустенитно-ферритных сталей с микрокристаллической (МК) и СМК структурами. Исследуемые конструкционные материалы на основе титана и железа широко применяются для деталей авиационной техники, оборудования химической промышленности, газоперекачивающих станций, теплоэнергетики. Для таких деталей, работающих в условиях повышенных температур, знакопеременных нагрузок и агрессивных сред, важным является оценка прочностных, коррозионных и усталостных характеристик, определяющих долговечность и надежность изделий.

Получение материалов с ультрадисперсной структурой на сегодняшний день является собой сложную технологическую проблему. Наиболее перспективным способом изготовления полуфабрикатов с СМК структурой является деформационно-термическая обработка, включающая интенсивную пластическую деформацию (ИПД), достигаемую обычными методами обработки металлов давлением [6]. Для получения СМК структуры в исследуемых материалах заготовки подвергали многократной всесторонней деформации осадкой в определенных интервалах температур и скоростей деформации [6, 7]. Оценку механических свойств выполняли по стандартным методикам.

СПЛАВЫ НА ОСНОВЕ ЖЕЛЕЗА

При деформации сталей в интервале температур 600–700 °С основным процессом структурообразования является динамическая рекристаллизация, приводящая сначала к образованию в полосах сдвига фрагментов, затем их трансформации в зерна [7]. Микроструктура сталей, сформированная при деформации и имеющая размер зерен и фрагментов 200–300 нм, представлена на рис. 1.

Границы зерен и фрагментов имеют большеглавые разориентации, но отличаются строением. На различных этапах деформационной обработки возможно образование спектра структур, отличающихся долей фрагментированной и зеренной составляющих структуры.

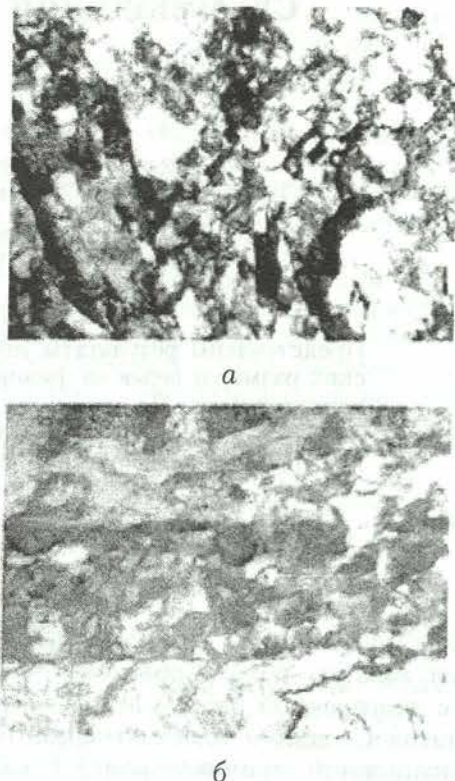


Рис. 1. Микроструктура стали 13Х25Т (а) и стали 12Х18Н10Т (б) после ИПД

В сталях, содержащих аустенитную fazу, формирование СМК структуры возможно также при развитии мартенситного $\gamma \rightarrow \alpha'$ -превращения в ходе деформации при температурах ниже M_d (как правило, ниже комнатной температуры) и затем обратного $\alpha' \rightarrow \gamma$ -превращения при нагреве [8].

Независимо от способа получения СМК структура термически стабильна до температуры последней обработки, в исследованных сталях – до 600 °С. При температурах нагрева 700–800 °С и выше развивается рекристаллизация, приводящая к потере СМК структуры.

Формирование СМК структуры зеренного типа приводит к резкому росту прочностных и снижению пластических характеристик сталей (табл. 1). Прирост прочности в ферритной и аустенитной сталях в сравнении с их крупнозернистыми состояниями (КЗ) примерно одинаков и составляет около 1,5 раз. В случае формирования микроструктуры фрагментированного типа, а также при исполь-

зовании деформационного и обратного $\gamma \rightarrow \alpha' \rightarrow \gamma$ -превращений прирост прочности существенно выше, в последнем случае удельная прочность аустенитных сталей сравнима с удельной прочностью титановых сплавов. По-видимому, разный уровень прочности стали при одинаковом размере кристаллитов обусловлен различными механизмами упрочнения и их комбинацией при формировании СМК структуры того или иного типа.

Таблица 1
Механические свойства нержавеющих сталей
в зависимости от структуры

d, мкм	Состояние (тип структуры)	Механические свойства					
		σ_{02} , МПа	σ_b , МПа	σ_b/ρ , $\times 10^6$ м	δ , %	δ_p , %	ψ , %
<i>13X25T ферритная</i>							
20	К3	310	560	7,1	21	15	65
0,2	СМК (фрагментир.)	950	1010	12,9	7	-	-
0,2	СМК(зеренная)	690	815	10,5	20	11	48
<i>12X21H5T аустенито-ферритная</i>							
10	К3	515	745	9,5	24	-	55
0,2	СМК (зеренная, $\gamma\text{-}\alpha'$ - γ -превращение)	1065	1095	14	18	-	57
<i>12X18H10T аустенитная</i>							
70	К3	280	535	6,6	25	78	55
4	МК	320	650	8,3	49	-	69
0,2	СМК (зеренная, $\gamma\text{-}\alpha'$ - γ -превращение)	1380	1650	21	9	3,5	49
<i>10X17H8M2-ВД аустенитная</i>							
50	К3	345	700	9,0	44	39	70
0,2	СМК (зеренная)	890	1095	14	27	26	21
0,2	СМК (фрагментир.)	945	1190	15,2	18,5	18	16
0,2	СМК (зеренная, $\gamma\text{-}\alpha'$ - γ -превращение)	1900	2000	25,6	5,0	-	34

Следует отметить, что, несмотря на существенное упрочнение, формирование СМК структуры не приводит к значительному снижению пластичности сталей. При этом изменение отдельных пластических характеристик в зависимости от типа структуры весьма неоднозначно. Например, в аустенитной стали 10X17H8M2 при образовании СМК структуры после $\gamma \rightarrow \alpha' \rightarrow \gamma$ -превращения наблюдается наибольшее снижение относительного удлинения, в то время как после ИПД — существенное снижение относительного сужения. Это позволяет предполагать, что деформационное поведение зависит от типа формирующейся СМК структуры в стали и требует проведения дальнейших исследований.

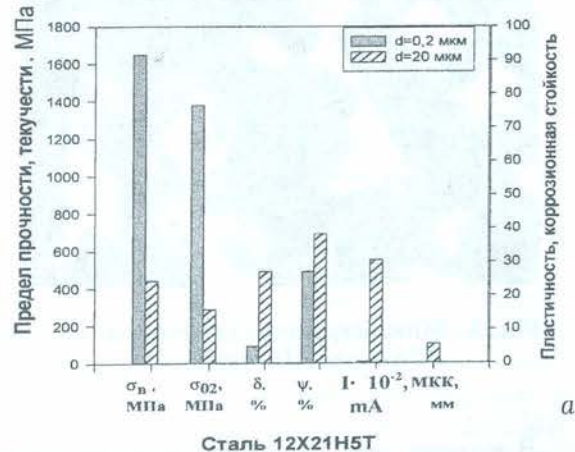
Традиционно считается, что чем крупнее размер зерен, тем выше сопротивление коррозии сталей, и, следовательно, измельчение зерен должно приводить к снижению коррозионных характеристик. Тем не менее оценка

коррозионной стойкости при формировании СМК структуры в сталях показала, что сопротивление общей коррозии у СМК сталей на порядок выше, чем у МК сталей, а межкристаллитная коррозия вообще не выявляется (рис. 2). Такое необычное коррозионное поведение СМК сталей, по-видимому, обусловлено особым строением границ зерен и отсутствием в них крупных карбидов, снижающих сопротивление коррозии [7].

Исследование демпфирующих свойств стали 12X18H10T показало их 4-кратное повышение при формировании СМК структуры [8].

Таким образом, формирование в нержавеющих сталях СМК структуры различного типа позволяет получить в них комплекс свойств, сочетающий высокие значения прочности, коррозионной стойкости, демпфирования при удовлетворительной пластичности, что может позволить значительно расширить область их практического применения.

Сталь 12Х18Н10Т



Сталь 12Х21Н5Т

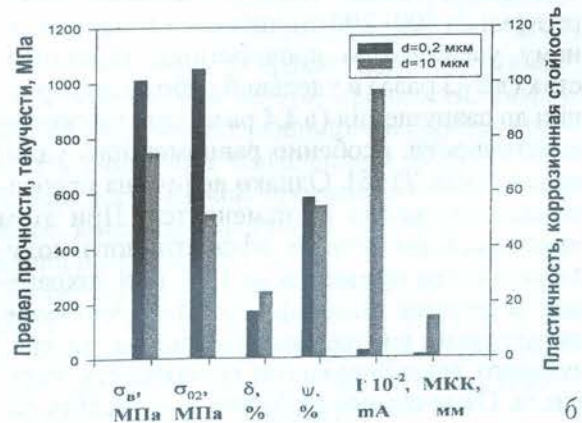


Рис. 2. Механические и коррозионные свойства сталей 12Х18Н10Т (а) и 12Х21Н5Т (б)

СПЛАВЫ НА ОСНОВЕ ТИТАНА

При теплой деформации титана формирование СМК структуры определяется совместным протеканием процессов динамической рекристаллизации и фрагментации [9]. В случае ($\alpha + \beta$)-титановых сплавов при трансформации пластинчатой микроструктуры основными процессами являются образование субзерен с последующим увеличением разориентировки их границ и сфероидизация [10, 11]. При температурах деформации 400 и 450 °C в титане формируется микроструктура с размером зерен и фрагментов соответственно около 100 и 200 нм. В сплаве BT6 после деформации при 550 °C размер зерен фаз составляет примерно 400 нм. Типичная микроструктура СМК сплава BT6, показанная на рис. 3, представлена однородно распределенными зернами $\alpha\alpha$ - и $\beta\beta$ -фаз. В зернах фаз наблюдается повышенная плотность дислокаций, в некоторых зернах отмечается субструктуря.



Рис. 3. Микроструктура титанового сплава BT6 после ИПД при 550 °C

В техническом титане уменьшение размера зерен до 100–200 нм приводит к значительному увеличению прочностных характеристик (в 2–3 раза) и удельной работы деформации до разрушения (в 4,4 раза) при снижении пластичности, особенно равномерного удлинения (табл. 2) [6]. Однако величина относительного сужения не изменяется. При этом отмечается увеличение эффективного модуля упругости примерно на 10 % при сохранении величины логарифмического декремента затухания внутреннего трения, характеризующего демпфирующую способность материала. Отмеченные различия в свойствах сохраняются при отжиге вплоть до температуры 400 °C, после которой наступает их возврат до значений крупнозернистого титана.

Дополнительная холодная прокатка СМК титана приводит к дальнейшему повышению

его прочности за счет увеличения плотности дислокаций в материале и формирования субструктуры внутри фрагментов и зерен.

В СМК титановых сплавах также наблюдаются высокие прочностные характеристики, но в отличие от титана не происходит существенного изменения их пластичности (табл. 3). Для сплава BT6 имеющиеся данные по механическим свойствам СМК состояния (0,4 мкм) и МК состояния (10 мкм), упрочненного термической обработкой, свидетельствуют о более высоком уровне механических свойств СМК сплава в интервале эксплуатационных температур, т. е. до 400 °C [6].

Таблица 2
Механические свойства технического титана BT1-00

Состояние	$\sigma_{0,2}$, МПа	σ_b , МПа	ψ , %	δ , %	δ_p , %
КЗ (50 μ m)	255	380	73	29	17
СМК (200 нм)	630	660	66	21	9
СМК (100 нм)	—	730	63	18	5
СМК (100 нм) + прокатка ($\lambda=2$)	937	1011	47	9,5	—
СМК (100 нм) + прокатка ($\lambda=5$)	1213	1265	56	9	—

Таблица 3
Механические свойства титанового сплава BT6 в СМК и МК состояниях

Состо- яние	t , °C	$\sigma_{0,2}$, МПа	σ_b , МПа	ψ , %	δ , %	δ_p , %
СМК (400 нм)	20	1180	1300	60	7	0,6
	200	985	1095	69	9	0,7
	300	900	1000	70	10	1,2
	400	800	840	83	14	3,5
	500	565	580	97	42	10,0
	600	130	200	—	200	—
МК (10 μ m)	20	960	1050	32	9	0,8
	200	885	1000	67	13	1,6
	300	850	970	71	16	2
	400	775	920	77	17	3,2
	500	750	895	87	22	4,2
	600	495	585	—	46	—

При комнатной температуре относительное удлинение СМК BT6 не меньше, а относительное сужение и удельная работа деформации соответственно в 2 и 3,4 раза больше, чем для МК сплава. Повышение температуры испытания более 500 °C ведет в СМК сплаве к резкому снижению его прочностных и увеличению пластических характеристик, что обусловлено проявлением эффекта низкотемпературной сверхпластичности [12].

Известно, что с уменьшением размера зерен в металлических материалах сопротивление их усталостному разрушению обычно возрастает [13]. Предполагается, что это происходит за счет значительного увеличения сопротивления зарождению трещины. Изучение влияния СМК состояния на усталостную прочность титанового сплава ВТ6 показало повышение его предела выносливости [14]. Усталостное поведение сплава ВТ6 показано на рис. 4. Как видно, кривые усталости СМК сплава располагаются выше кривых МК сплава и соответственно величина предела выносливости в СМК сплаве примерно на 20 % выше. Так, если значение предела выносливости для МК сплава ВТ6 составляет $\sigma_{-1} = 567$ МПа, то для сплава с СМК микроструктурой $\sigma_{-1} = 688$ МПа.

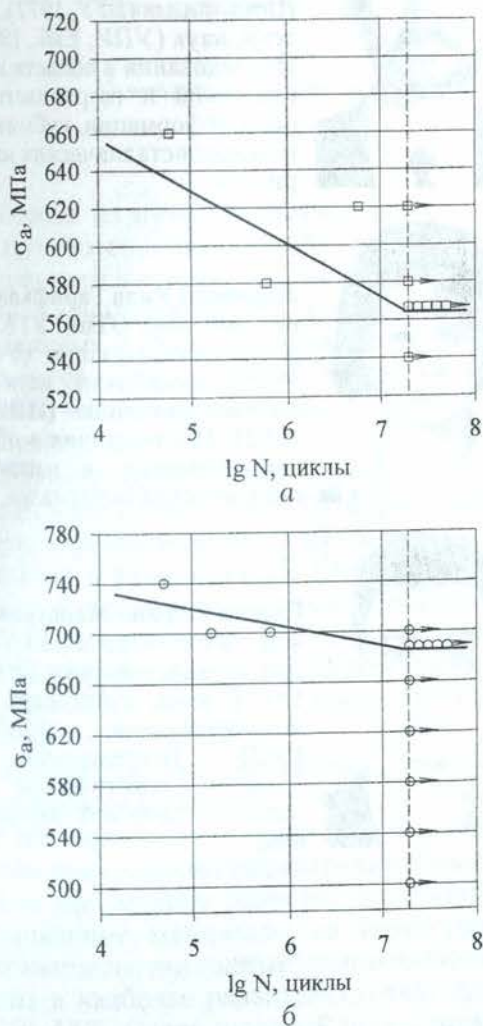


Рис. 4. Кривые усталости образцов из сплава ВТ6 в МК (а) и СМК (б) состояниях

Представленные результаты позволяют говорить о лучшем комплексе механических

свойств сплава ВТ6 в СМК состоянии по сравнению с термоупрочненным МК сплавом. Улучшение заключается в одновременном повышении значений таких характеристик, как пределы текучести и прочности, относительное сужение, удельная работа деформации и предел выносливости.

Таблица 4
Влияние холодной прокатки
на механические свойства СМК сплава ВТ6

Состояние	$t, ^\circ\text{C}$	$\sigma_{0.2}, \text{МПа}$	$\sigma_b, \text{МПа}$	$S_k, \text{МПа}$	$\psi, \%$	$\delta, \%$
СМК (500 нм)	20	1105	1162	1952	64	9
СМК (500 нм) + прокатка ($\lambda=2.5$)		1427	1470	2000	50	8
СМК (500 нм) + прокатка ($\lambda=3.5$)		1457	1502	2050	54	8

Следует отметить, что наблюдаемое увеличение прочностных характеристик сплавов в результате измельчения микроструктуры не столь велико, как в случае технически чистых металлов, в которых прочность в СМК и МК состояниях может различаться в несколько раз [1]. Объясняется это тем, что, например, в отличие от титана, сплав ВТ6 имеет исходно значительно более высокую прочность, прежде всего, за счет твердорасторвного и дисперсионного упрочнения. В случае СМК состояния сплава дисперсионное упрочнение исключается, но упрочнение за счет увеличения протяженности границ зерен восстанавливает частичную потерю прочности. Тем не менее ресурс зернограничного и субструктурного упрочнения СМК сплава ВТ6 до предельно достижимой прочности существенно выше, поскольку величина истинного напряжения разрушения (S_k) в этом состоянии достигает примерно 2000 МПа (табл. 4). Данний факт подтверждается упрочнением сплава при дополнительной холодной деформации прокаткой, приводящей к увеличению его прочности до ~ 1500 МПа.

Таким образом, в целом выигрыш в механических свойствах СМК материалов достаточно очевиден, чтобы считать обработку на сверхмелкое зерно перспективной с точки зрения практического применения.

СПИСОК ЛИТЕРАТУРЫ

1. Gleiter H. Structure and properties of nanometer-sized materials // Phase Transitions. 1990. V. 24–26. P. 15–34.
2. Структура и свойства нанокристаллических материалов: Сб. науч. тр. Екатеринбург: УрО РАН, 1999. 402 с.
3. Investigation and Applications of Severe Plastic Deformation: Proc. of NATO Advanced Research Workshop. Moscow, 1999. (in press).
4. Границы зерен и свойства металлов / О. А. Кайбышев, Р. З. Валиев М.: Металлургия, 1987. 214 с.
5. Диаграммы горячей деформации, структура и свойства сталей / Под ред. М. Л. Бернштейна. М.: Металлургия, 1989. 544 с.
6. Жеребцов С. В., Галеев Р. М., Валиахметов О. Р. и др. Формирование субмикрокристаллической структуры в титановых сплавах интенсивной пластической деформацией и их механические свойства // КШП. 1999. № 7. С. 17–22.
7. Salishchev G. A., McQueen H., Zaripova R. G., Zakirova A. A. Submicrocrystalline materials structure formation and properties // Hot Workability of Steels and Light Alloys-Composites (H. McQueen, Ed.) 1996. P. 217–226.
8. Mulyukov R., Mikhailov S., Zaripova R., Salimonenko D. Damping properties of 18Cr-10Ni stainless steel with submicrocrystalline structure // Mater. Research Bull. 1996. V. 31. P. 639–645.
9. Салищев Г. А., Валиахметов О. Р., Галеев Р. М., Малышева С. П. Формирование субмикрокристаллической структуры в титане при пластической деформации и ее влияние на механические свойства // Металлы. 1996. № 4. С. 86–91.
10. Salishchev G. A., Valiakhmetov O. R., Galeev R. M. Formation of submicrocrystalline structure in the titanium alloy VT8 and its influence on mechanical properties // J. Mater. Sci. 1993. V. 28. P. 2898–2902.
11. Галеев Р. М., Жеребцов С. В., Валиахметов О. Р. и др. Формирование субмикрокристаллической структуры в титановом сплаве ВТ30 // ФММ. 1999. Т. 87, № 4. С. 66–71.
12. Salishchev G. A., Galeev R. M., Malyshcheva S. P., Valiakhmetov O. R. Low temperature superplasticity of submicrocrystalline titanium alloys // Mater. Sci. Forum. 1997. V. 243–245. P. 585–590.
13. Терентьева В. Ф., Пойда В. Г. Влияние размера зерна на сопротивление усталости металлов // Усталость и вязкость разрушения металлов. М.: Наука, 1974. С. 109–140.
14. Жеребцов С. В., Салищев Г. А., Галеев Р. М. и др. Влияние субмикрокристаллической структуры на усталостную прочность титанового сплава ВТ6 // Перспективные материалы. 1999. № 6. С. 16–23.

ОБ АВТОРАХ



Салищев Геннадий Алексеевич, профессор, зав. лаб. металловедения сверхпластичных сплавов ИПСМ РАН. Дипл. физик (БГУ, 1972). Д-р техн. наук (УПИ, Екб., 1990). Исследования в области пластической и сверхпластической деформации, субмикро- и нанокристаллических материалов.



Зарипова Рида Гарифьяновна, доц. каф. ОТиМ УГАТУ. Дипл. инж.-механик (УАИ, 1978), канд. техн. наук по материаловедению (ИПСМ, 1992). Исследования в области субмикро- и нанокристаллических материалов.



Галеев Рафаил Мансурович, доц. каф. ОТиМ УГАТУ. Дипл. инж.-механик (УАИ, 1977), канд. техн. наук по металловедению (МАТИ, 1983). Исследования в области пластической и сверхпластической деформации.